

Е. И. Мамаева

К ВОПРОСУ О РАСПРЕДЕЛЕНИИ РЕДКОЗЕМЕЛЬНЫХ ЭЛЕМЕНТОВ В ПОРОДАХ ГУЛИНСКОГО МАССИВА (МАЙМЕЧА-КОТУЙСКАЯ ПРОВИНЦИЯ)

Гулинский массив входит в состав Маймече-Котуйской провинции щелочно-ультраосновных пород с карбонатами (ультраосновные-щелочные-карбонатитовые – УЩК, по [1]), расположенной на севере Сибирской платформы. Являясь своеобразным эталоном массивов УЩК, в котором наиболее полно проявлены все типы пород, типичные для данного формационного типа, Гулинский массив по ряду признаков попадает в ряд исключения или аномалии среди сходных с ним массивов.

Гулинский массив не имеет себе равных в мире по размерам площади среди массивов формации УЩК – около 2000 км² [2]. Свыше 60% площади массива занимают дуниты, в то время как для ультрамагматитов формации более характерны оливиниты и титаномагнетитовые оливиниты. И, наконец, в конце XX в. в связи с открытием в пределах Гулинского массива комплексных Au–Ir–Os-россыпей выяснилось, что гулинские дуниты специализированы на тугоплавкие платиноиды – Ru, Ir и Os [3, 4 и др.].

Гулинский pluton локализован на границе Сибирской платформы с мезо-кайнозойским Хатангским прогибом, в месте соединения глубинных разломов раннетриасового этапа магматической активизации [5]. Раму массива образуют вулканиты, общая мощность которых в районе выхода интрузии приближается к 3000 м. Вулканиты представлены базальтами, щелочными базальтоидами, лавами щелочно-основного, основного и среднего составов. Завершают разрез ультраосновные вулканиты (меймечиты) [6]. Северная и северо-западная части plutона (около 2/3) перекрыты молодыми отложениями Хатангской впадины.

По аэромагнитным и гравиметрическим данным массив имеет в плане вид овала, очертание обнаженной части plutона в плане серповидное, ее площадь около 470 км². В пределах Гулинского массива проявлены 7 породных групп (серий), каждая из которых, по мнению Л. С. Егорова [2], формируется в отдельную fazu интрузии.

Площадь распространения пород следующая (км²) [7]: дуниты – 301,2; перидотиты – 3,4; рудные пироксениты (косывиты) – 5,6; мелилитовые породы – 1,8; якупирингит-мелтьгиты – 4,3; оливиновые меланефелиниты и нефелиновые пикриты – 118,8; малиниты – 17,4; шонкиниты – 7,0; ийолиты – +; нефелиновые и щелочные сиениты – 0,3; фоскориты (камафориты) – 0,1; кальцитовые карбонатиты – 5,9; доломитовые карбонатиты – 1,0.

Резкое преобладание в Гулинском массиве ультрабазитов над другими породами щелочно-ультраосновного комплекса дало основание некоторым исследователям [4, 8] предположить пространственное совмещение двух различных формационных комплексов в гетерогенном plutone: клинопироксенит-дунитового и ийолит-карбонатитового [2]. По мнению К. Н. Малича [4], эти комплексы имеют различную металлогеническую специализацию, а также, вероятно, разрыв во времени образования и изначально различные мантийные источники.

Распределение редкоземельных элементов (РЗЭ). В таблице приведены данные анализа содержаний РЗЭ в главных сериях пород Гулинского массива. Они свидетельствуют о закономерном росте легких и тяжелых лантаноидов в ряду пород от ультраосновных к щелочно-ультраосновным, щелочным и карбонатитам. При этом содержание редких земель в дунитах минимальное, в то время как при переходе к оливинитам и рудным пироксенитам содержание лантаноидов вырастает сразу в десятки и сотни раз. Далее от мелилитовых пород до карбонатитов концентрация РЗЭ испытывает незакономерные флуктуации, но в целом не увеличивается и не уменьшается, т. е. их распределение близко к горизонтальному.

Дуниты содержат тяжелые РЗЭ на уровне и ниже хондритового стандарта, а легкими лантаноидами обогащены относительно него в 2–4 раза (хондритовый стандарт по [9]). Это согласуется с имеющимися литературными данными [10, 11].

Интересные выводы следуют из рассмотрения хондрит-нормализованных отношений содержаний РЗЭ в главных породных сериях Гулинского массива (рис. 1) (изображены вычисленные средние значения для разных групп пород). Дуниты, по сравнению с другими породами комплекса, отличаются минимальным уровнем содержания РЗЭ. Распределение редких земель здесь характеризуется относительным максимумом в области легких лантаноидов, который приходится на Pr, и минимумом в области тяжелых лантаноидов (на Er). Наблюдающийся на графике щелочных сиенитов Eu-максимум обусловлен присутствием в этих породах полевых шпатов, в которых, как правило, концентрируется Eu.

Абстрагируясь от имеющихся место небольших флуктуаций в содержании лантаноидов в рассматриваемых породах, можно прийти к выводу о схожем распределении РЗЭ в контрастных по составу породах Гулинского массива, которые отличаются друг от друга уровнем содержания TR. Плавный характер кривых распределения свидетельствует, на наш взгляд, о минимальном влиянии на распределение редких земель наложенных (метасоматических) процессов. Главная общая тенденция распределения РЗЭ в породах Гулинского plutона заключается в преобладании легких лантаноидов над тяжелыми при плавном характере их взаимного распределения.

Распределение РЭЭ в главных сериях пород Гулинского массива (г/т)

№ образца	Порода	Y	La	Ce	Pr	Nd	Sm	Eu	Gd	Tb	Dy	Ho	Er	Tm	Yb	Lu
857	Дунит	0,52	0,87	2,05	0,26	0,97	0,2	0,059	0,17	0,028	0,13	0,0076	0,043	0,013	0,054	<0,005
87268	"	0,36	0,23	0,83	0,12	0,34	0,034	0,012	0,029	0,015	0,024	<0,005	<0,01	<0,005	0,033	<0,005
8719/12	"	0,4	0,29	0,78	0,13	0,54	0,11	0,021	0,097	0,013	0,048	<0,005	0,011	0,0056	0,029	<0,005
232,5	Оливинит	7,98	10,3	27,9	4,07	17,5	3,76	1,15	3,7	0,47	2,07	0,32	0,67	0,096	0,47	0,082
8712/2	Рудн. пироксенит	8,41	6,85	23,5	3,85	18,3	4,09	1,36	4,08	0,49	2,23	0,33	0,64	0,078	0,46	0,058
8719/1	То же	6,45	4,89	16,9	2,99	14,4	3,33	1,03	3,16	0,39	1,51	0,25	0,49	0,069	0,3	0,043
465	Меллапитит	18,3	234	472	48,8	171	23	6,05	24,4	1,98	6,31	0,86	1,57	0,16	0,75	0,085
8230/1	"	20,6	259	529	56,8	196	26,1	6,77	22,9	2,22	8,47	0,94	1,84	0,18	0,85	0,11
27/65	"	17,4	45,1	84,6	11,2	48,1	9,81	3,43	10	1,1	4,61	0,61	1,19	0,12	0,64	0,068
19/34	Якупирит-мелльгит	33,1	417	1030	125	472	63,6	15,4	59	4,62	12,8	1,62	2,91	0,25	1,63	0,19
2/94,6	То же	11	17,9	46,1	6,57	29	5,73	1,77	6,21	0,7	3,06	0,43	0,94	0,12	0,69	0,099
24/24,6	Ийолит	21,3	45,2	70,2	7,63	26,9	5,25	1,76	6,2	0,79	3,82	0,67	1,65	0,2	1,14	0,17
19/72	"	18,8	7,3	16,8	2,4	13,1	4,39	1,79	5,38	0,8	4,03	0,66	1,73	0,22	1,35	0,17
8228/1	Цел. сиенит	1,44	5,45	8,25	0,92	2,74	0,46	0,48	0,55	0,062	0,26	0,038	0,12	0,027	0,2	0,045
87269/2	То же	44,4	212	409	42,6	151	22,9	7,83	22	2,58	11,4	1,69	4,14	0,51	3,16	0,41
37/57,4	Фоскорит	42,5	180	284	25,8	88,6	14,3	4,66	19,3	1,91	8,49	1,36	3,52	0,43	2,6	0,36
8436/10	"	19,1	76,3	183	20,1	71,1	10,2	2,77	11,9	1,13	4,72	0,7	1,82	0,25	1,44	0,23
8439А	Кальцит. карбонатит	5,63	42,4	41,3	3	8,25	1,17	0,5	1,43	0,17	0,78	0,13	0,26	0,042	0,21	0,038
15/104	То же	4,67	38,3	32,7	2,25	6,11	0,78	0,39	1,13	0,13	0,54	0,083	0,18	0,026	0,13	0,025
31/74	"	19,4	142	181	15,1	45,9	6,54	2,27	7,29	0,77	3,71	0,58	1,23	0,13	0,89	0,13
42/54	"	5,06	35	33,5	2,52	7	0,82	0,43	1,23	0,13	0,68	0,11	0,31	0,04	0,17	0,025
40/13	"	27,4	88,5	192	21,9	76,1	12,1	3,63	12	1,41	6,17	0,91	2,3	0,29	1,77	0,23
39/95,1	"	132	247	661	84,7	328	55	16,4	55,3	6,86	33,1	5,21	12	1,09	4,94	0,52
10/98	"	5,56	29,4	18,2	1,26	3,79	0,69	0,5	1,14	0,13	0,68	0,14	0,36	0,042	0,19	0,041
8245	"	29,3	11,5	247	29	98,9	15,6	4,51	14,8	1,75	6,69	1	2,28	0,27	1,72	0,21
36/42,4	Доломит. карбонатит	4,73	33,6	101	11	37,9	4,9	1,3	3,94	0,43	1,53	0,17	0,39	0,049	0,27	0,025
8427	То же	54,1	184	499	67,8	265	33,7	8,36	26,9	2,97	12,6	1,99	4,98	0,67	3,62	0,5
788/8	"	7,19	40,2	96,1	12,1	43,7	6,42	1,71	5,83	0,59	2,22	0,3	0,64	0,058	0,36	0,037
799	"	5,2	28,9	97,8	10,2	34,7	4,97	1,32	3,92	0,42	1,73	0,23	0,46	0,046	0,28	0,045

П р и м е ч а н и е. Образцы из коллекции Л. С. Егорова, любезно предоставлены Т. Л. Кончуровой («ВНИИОкеанология»). Анализы выполнены методом ICP-MS, анализик В. А. Шипилов (ВСЕГЕИ).

Порода/хондрит

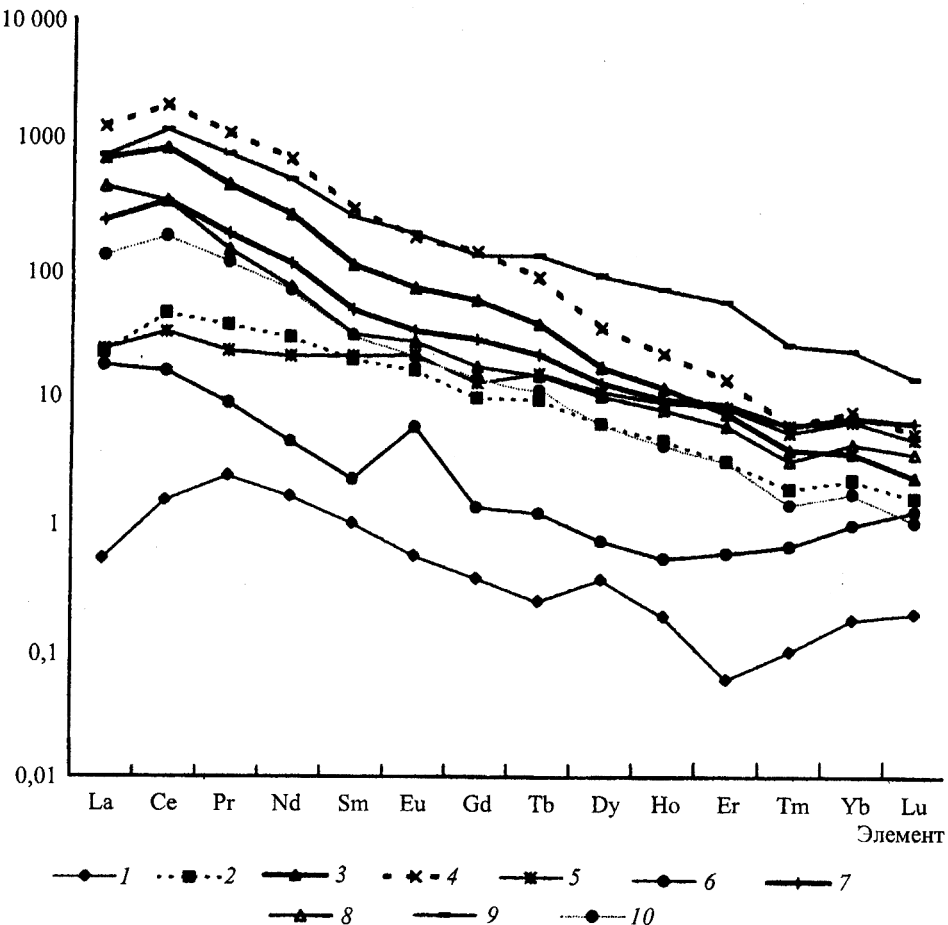


Рис. 1. Распределение РЗЭ в породах Гулинского массива.

1 – дунит; 2 – рудный пироксенит; 3 – мелилитовая порода; 4 – якупирангит-мелтьеит; 5 – ийолит; 6 – щелочной сиенит; 7 – фоскорит; 8 – крупнозернистый кальцитовый карбонатит; 9 – мелкозернистый кальцитовый карбонатит; 10 – доломитовый карбонатит.

В этой связи любопытно сравнить распределение РЗЭ в дунитах классических гипербазитовых комплексов. Как видно из рис. 2, распределение редких земель в гулинских дунитах отличается от таковых в ультрамафитах оphiолитов (на примере Урала и Новой Каледонии) и дунитах Гальмозэнанского зонального клинопироксенит-дунитового массива (Корякия). А распределение РЗЭ в меймечитах и пикритах Маймече-Котуйской провинции (рис. 2, в) имеет такой же характер обогащенности легкими и обедненности тяжелыми лантаноидами, однако отличается от гулинских дунитов повышенным их содержанием.

Полученные результаты говорят о возможной комагматичности пород щелочно-ультраосновного комплекса и о правомерности отнесения дунитов Гулинского массива к формации щелочно-ультраосновных пород с карбонатами. Возможно, этот вывод является преждевременным и требует дальнейших исследований.

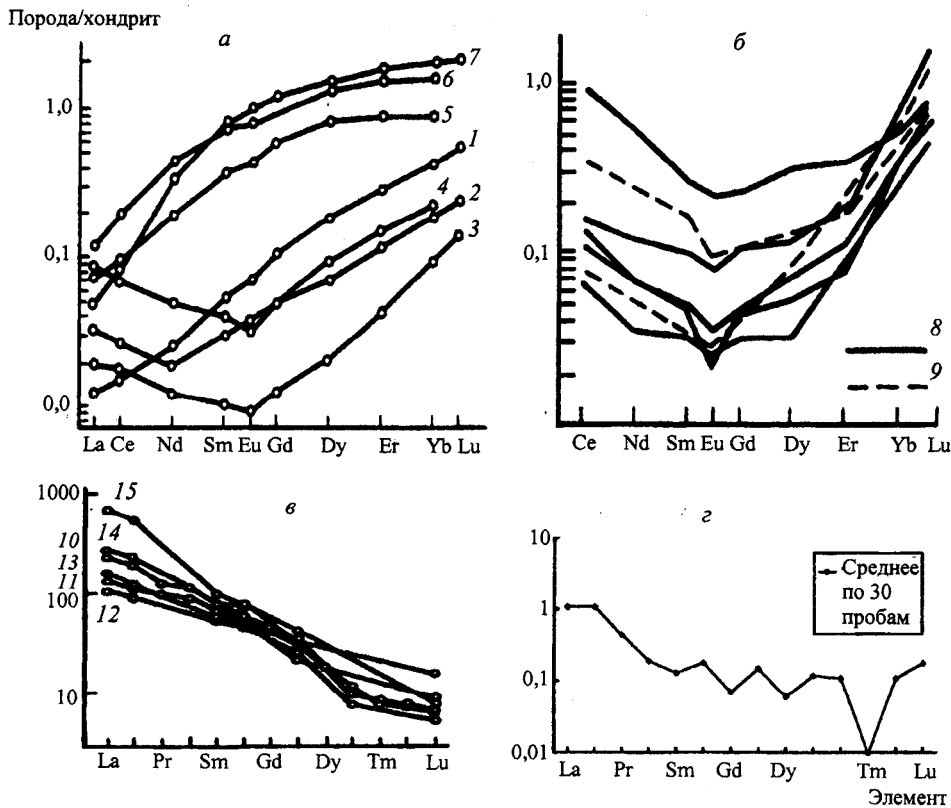


Рис. 2. Распределение РЗЭ в ультрамафитах различных ультраосновных комплексов.

a – ультрамафиты оphiолитов Урала [10]: 1–6 – Войкаро-Сынинский массив: 1, 2 – гарцбургиты, 3–6 – жильные ультрамафиты; 3 – дунит, 4 – ортопироксенит, 5 – клинопироксенит, 6 – вебстерит; 7 – плагиоклазовый лерциолит, массив Северный Крака; *б* – ультрамафитовый комплекс Сюд, Новая Кaledония [12]: 8 – гарцбургит, 9 – дунит; *в* – пелочно-ультраосновные вулканиты Маймече-Котуйской провинции [13]: 10–13 – меймечиты, 14, 15 – пикриты; *г* – дуниты зонального клинопироксенит-дунитового Гальмоэнанского массива, Корякия (данные Ю. В. Назимовой).

Summary

Mamaeva H. I. On the problem of distribution of rare earth elements in rocks of the Gulinsky massif (Maimecha-Kotui province).

The new data about distribution of rare earth elements in rocks of Gulinsky massif of alkaline ultramafic rocks with carbonatites (north of the Siberian gantry) are adduced. The analysis of the chondritis-normalized relations of the contents of rare earths testifies the existence of the general tendency of distribution of these members, which is encompassed by the dominance of mild lanthanoids above high-gravity. At the same time the nature of distribution of infrequent grounds in Gulinsky dunites differs from those in ultramafites of ophiolites and of zone clinopyroxenite-dunite massifs (on an example of the Galmoenansky massif).

Литература

- Фролов А. А., Толстов А. В., Белов С. В. Карбонатитовые месторождения России. М., 2003.
- Егоров Л. С. Ийолит-карбонатитовый plutонизм (на примере Маймече-Котуйского комплекса Полярной Сибири). Л., 1991.
- Лазаренков В. Г., Малич К. Н., Сахьянов Л. О. Платинометальная минерализация зональных ультраосновных и коматитовых массивов. Л., 1992.
- Малич К. Н. Платиноиды клинопироксенит-дунитовых массивов Восточной Сибири. СПб., 1999.
- Егоров Л. С., Рудяченок В. М., Сурина Н. П. О структурно-геологическом положении ультраосновных-щелочных пород в Маймече-Котуйской провинции // Докл. АН СССР. 1968. № 1.
- Шихорина К. М. Вулканические образования М-К провинции // Карбонатиты и щелочные породы севера Сибири / Под ред.

- Л. С. Егорова. Л., 1970. 7. Егоров Л. С. Происхождение и формационный состав Маймеч-Котуйского магматического комплекса // Там же. 8. Малич К. Н., Лопатин Г. Г. Геология и формационная принадлежность ультрамафитов Гулинского интрузива // Недра Таймыра / Гл. ред. О. Н. Симонов. Норильск, 1997. Вып. 2. 9. Богатиков О. А., Косарева Л. В., Шарков Е. В. Средние химические составы магматических горных пород: Справочник. М., 1987.
10. Магматические горные породы / Под ред. О. А. Богатикова. Т. 5: Ультраосновные породы. М., 1988. 11. Лазаренков В. Г., Балмасова Е. А., Малич К. Н. Взаимосвязь содержаний ЭПГ и редкоземельных элементов как критерий локального прогноза платиноидной минерализации в ультраосновных породах // Зап. Ленингр. горн. ин-та. 1990. Т. 121. 12. Prinzhofer A., Allegre C. J. Residual peridotites and the mechanisms of partial melting // Earth and Planetary Science Letters. 1985. Vol. 74. 13. Ланда Э. А. О содержании РЭЭ в дунитах Гулинского массива и генезисе этих пород // Докл. АН СССР. 1984. № 1.

Статья поступила в редакцию 16 июня 2006 г.